

16. Ohmori Y., Shimozuma M., Tagashira H. Boltzmann equation analysis of electron swarm behaviour in monosilane // J. Phys. D: Appl. Phys.— 1986.— V. 19.— P. 1029.
17. Mathieson K. J., Millican P. G., Walker I. S., Curtis M. G. Low-energy-electron collision cross-sections in silane // J. Chem. Soc. Faraday Trans.— 1987.— V. 1183.— P. 1041.
18. Braglia G. L., Romano L., Diligenti M. On the accuracy of experimental electron energy distributions in gases // Nuovo Cimento.— 1985.— V. B85.— P. 193.
19. Chatham H., Hils D., Robertson R., Gallagher A. Total and partial electron collisional cross sections for CH₄, C₂H₆, SiH₄ and Si₂H₆. // J. Chem. Phys.— 1984.— V. 81.— P. 1770.

г. Новосибирск

Поступила 3/III 1993 г.

УДК 534.222 – 539.196

B. I. Грабовский, A. M. Стариk

МОДЕЛИРОВАНИЕ ДИНАМИКИ ИЗМЕНЕНИЯ
ПОКАЗАТЕЛЯ ПРЕЛОМЛЕНИЯ
ПРИ РЕЗОНАНСНОМ ВЗАИМОДЕЙСТВИИ ИЗЛУЧЕНИЯ
С КОЛЕБАТЕЛЬНО-ВРАЩАТЕЛЬНЫМИ ПЕРЕХОДАМИ

Резонансное поглощение газом излучения может приводить, как известно, к возбуждению внутренних степеней свободы молекул, что в значительной степени определяет нелинейный отклик среды. При этом изменяются как мнимая, так и действительная часть диэлектрической проницаемости. Первая связана с коэффициентом поглощения k_v , а вторая — с показателем преломления n . Изменение n в канале пучка приводит к отклонению световых лучей от первоначального направления и в значительной степени определяет характер распространения лазерного пучка в нелинейной среде [1]. Именно поэтому изучению механизмов изменения показателя преломления при воздействии резонансного излучения посвящено значительное число работ. Особое внимание уделяется анализу закономерностей изменения n при распространении импульса излучения ИК-диапазона (излучение этого диапазона поглощается обычно на колебательно-вращательных переходах) [2—7]. Обусловлено это тем, что именно ИК-лазеры способны давать высокие уровни интенсивности, при которых нелинейные эффекты становятся весьма существенными.

Было показано, что основными механизмами изменения n являются изменение поляризуемости молекул среды вследствие возбуждения молекулярных колебаний и изменение плотности вследствие гидродинамических эффектов, обусловленных неоднородным тепловыделением из колебательных в поступательные степени свободы. Анализ влияния гидродинамических эффектов при этом проводился в основном в рамках модели невязкого нетеплопроводного газа без учета влияния диффузии и теплопроводности, которые в колебательно-неравновесном газе существенно зависят от степени возбуждения и могут оказывать значительное влияние на поведение концентраций компонентов смеси даже на временах, меньших характерных времен этих процессов [8]. Поэтому представляет интерес провести комплексный анализ закономерностей изменения показателя преломления смеси газов с учетом всех процессов, связанных с возбуждением молекулярных колебаний резонансным излучением. Такому анализу и посвящена данная работа.

Анализ проведен для двухкомпонентной смеси газов, состоящих из молекул разного сорта, например А (1) и В (2), причем молекулы сорта А обладают, по крайней мере, двумя различными типами колебаний k и q с частотами $\nu_k < \nu_q$, а молекулы сорта В — одним типом колебаний s с

частотами $\nu_s \leq \nu_q$ или $\nu_s \geq \nu_q$. Пусть время колебательно-поступательной релаксации для моды q много больше времен колебательно-колебательных обменов $\nu_q \rightarrow \nu_k$ и $\nu_q \rightarrow \nu_s$, а частота воздействующего излучения ν_I резонансна частоте центра линии колебательно-вращательного перехода $m \rightarrow n$, верхнее n и нижнее m состояния которого принадлежат типам колебаний k и q соответственно:

$$\nu_I = (E_{V''} - E_{V'} + E_{j''} - E_{j'})/h$$

($E_{V''}$ и $E_{V'}$ — колебательные энергии возбужденных состояний n и m молекулы сорта A, а $E_{j''}$ и $E_{j'}$ — их вращательные энергии, h — постоянная Планка). Такая ситуация характерна для многих практически интересных случаев, например, при поглощении излучения CO₂-лазера в смеси CO₂—N₂, использующейся как для теоретического [9—11], так и для экспериментального [12, 13] моделирования различных нелинейных процессов. Будем рассматривать случаи, когда все молекулы находятся в основном электронном состоянии и изменения химического состава не происходит. Величина показателя преломления определяется при этом соотношениями [6, 7]

$$(1) \quad n^2 - 1 = 4\pi \sum_{i=1}^2 N_i \alpha_i, \quad \alpha_i = \alpha_{i0} + \sum_j \alpha_{ij}^V + \alpha_i^R.$$

Здесь N_i — плотность молекул i -го сорта; α_{i0} — нерезонансная молекулярная поляризуемость молекул i -го компонента при невозбужденном внутреннем движении; α_{ij}^V и α_i^R характеризуют соответственно вклад молекулярных колебаний j -го типа и вклад вращения в нерезонансную часть поляризуемости молекул i -го сорта.

Ограничимся случаями, когда время индуцированных переходов $\tau_I \gg \tau_{RT}, \tau_{VV}$ (τ_{RT} и τ_{VV} — характерные времена вращательно-поступательного и внутримодового колебательно-колебательного обменов). При этом можно считать, что между вращательными и поступательными степенями свободы существует термодинамическое равновесие, а внутри каждой моды j ($j = k, q, s$) с частотой нормальных колебаний ν имеет место больцмановское распределение с колебательной температурой T_j . При этих допущениях $\alpha_i^R = \varphi(T)$, а $\alpha_{ij}^V = f(T_j)$. Учитывая, что для газов $\delta n \ll n_0$, а при $\delta T \ll \delta T_j$ (именно такие случаи и рассматриваются) $\delta \alpha_i^R \ll \delta \alpha_{ij}^V$ ($\delta \xi = \xi - \xi_0$, $\xi = T, T_j, n, \alpha_i^R, \alpha_{ij}^V$, индекс 0 отвечает невозмущенным параметрам среды при $t = 0$), изменение показателя преломления в соответствии с (1) можно представить как

$$(2) \quad \delta n = \frac{2\pi}{n_0} \sum_{i=1}^2 (\alpha_{i0} \delta N_i + N_{i0} \sum_j \delta \alpha_{ij}^V).$$

Из (2) видно, что для вычисления δn необходимо знать, как ведут себя N_i и T_j . Для определения изменения N_i и T_j при воздействии резонансного излучения на покоящуюся среду воспользуемся системой уравнений Навье — Стокса для колебательно-неравновесного газа, которая в соответствии с [8, 14] имеет вид

$$(3) \quad \frac{\partial \rho}{\partial t} + \nabla(\rho \mathbf{u}) = 0;$$

$$(4) \quad \frac{\partial N_i}{\partial t} + \nabla [N_i(\mathbf{u} + \mathbf{V}_i)] = 0;$$

$$(5) \quad \rho \frac{\partial \mathbf{u}}{\partial t} + \rho (\mathbf{u} \nabla) \mathbf{u} + \nabla p = \sum_{i=1}^2 N_i \mathbf{X}_i + \eta \Delta \mathbf{u} + (\xi + \frac{\eta}{3}) \nabla (\nabla \mathbf{u});$$

(6)

$$\frac{\partial}{\partial t} \left[\rho \left(E_{RT} + \frac{u^2}{2} \right) \right] + \nabla \left[\rho \mathbf{u} \left(E_{RT} + \frac{\rho}{\rho} + \frac{u^2}{2} \right) - \mathbf{u}' \sigma' + \mathbf{q}_{RT} \right] = Q_I + \sum_{i=1}^2 N_i \mathbf{X}_i (\mathbf{V}_i + \mathbf{u});$$

$$(7) \quad \frac{\partial \rho e_V^k}{\partial t} + \nabla(\rho u e_V^k) + \nabla \mathbf{q}_V^k = h \nu_k N_1 \left[-\frac{l_k k_v I}{h \nu_I N_1} - (\varepsilon_k - \varepsilon_{k0}) W_{k,0} + L_{q,k} r_k W_{q,k} \right];$$

$$(8) \quad \frac{\partial \rho e_V^q}{\partial t} + \nabla (\rho u e_V^q) + \nabla q_V^q = h v_q N_1 \left[\frac{l_q k_v I}{h v_I N_1} - L_{q,k} r_q W_{q,k} - L_{q,s} r_q W_{q,s} N_2 \right];$$

$$(9) \quad \frac{\partial \rho e_V^s}{\partial t} + \nabla (\rho u e_V^s) + \nabla q_V^s = h v_s N_2 [- (\varepsilon_s - \varepsilon_{s0}) W_{s,0} + L_{q,s} r_s W_{q,s} N_1],$$

$$q_{RT} = \rho T \sum_{i=1}^2 C_{RT}^i \mathbf{V}_i - \lambda \nabla T + \frac{KT}{N} \sum_{i=1}^2 \frac{D_i^T N_j}{m_i D_{ij}} (\mathbf{V}_i - \mathbf{V}_j),$$

$$\mathbf{q}_{V'}^l = \rho e_V^l \mathbf{V}_i - \lambda_i^V \nabla T_i + NKT \sum_{j=1}^2 D_{ij}^V \mathbf{d}_j \quad \begin{cases} l = k, q \rightarrow i = 1 \\ l = s \rightarrow i = 2 \end{cases},$$

$$\mathbf{V}_i = \frac{N^2}{N_i \mu} \sum_{j=1}^2 m_j D_{ij} \mathbf{d}_j - \frac{1}{m_i N_i} (D_i^T \nabla \ln T + \delta_{i,1} \sum_{l=k,q} D_l^V \nabla \ln T_l + \delta_{i,2} D_s^V \nabla \ln T_s),$$

$$\mathbf{d}_j = \nabla \left(\frac{N_j}{N} \right) + \left(\frac{N_j}{N} - \frac{N_i m_i}{\rho} \right) \nabla \ln p + \frac{N_j m_j}{\rho \mu} \sum_{i=1}^2 N_i \mathbf{X}_i - \frac{N_j \mathbf{X}_j}{\rho}, \quad j = 1, 2,$$

$$p = \frac{\rho R T}{\mu}, \quad E_{RT} = C_{RT} T, \quad C_{RT} = \sum_{i=1}^2 C_{RT}^i,$$

$$C_{RT}^i = \left(\frac{3}{2} + C_R^i \right) \frac{R}{\mu} \gamma_i, \quad e_V^i = \frac{h v_i R}{K \mu} \gamma_i \varepsilon_i,$$

$$\varepsilon_{i0} = \varepsilon_i(T), \quad \varepsilon_i = g_i [\exp(hv_i/KT_i) - 1]^{-1},$$

$$W_{q,k} = \sum_i W_{q,k}^i N_{i0}, \quad W_{k,0} = \sum_i W_{k,0}^i N_{i0}, \quad W_{s,0} = \sum_i W_{s,0}^i N_{i0},$$

$$L_{i,m} = \left\{ \varepsilon_i'' (g_m + \varepsilon_m)^{r_m} - \varepsilon_m'' (g_i + \varepsilon_i)^{r_i} \exp [(r_m h v_m - r_i h v_i)/KT] \right\} \frac{i}{\xi_i^{r_i} \xi_m^{r_m}},$$

$$Q_I = k_v I (E_{j''} - E_{j'}) / (h v_I) + \Phi_V,$$

$$\Phi_V = h v_k N_1 \left[(\varepsilon_k - \varepsilon_{k0}) W_{k,0} + L_{q,k} \left(r_q \frac{v_q}{v_k} - r_k \right) W_{q,k} \right] +$$

$$+ N_2 h v_s \left[(\varepsilon_s - \varepsilon_{s0}) W_{s,0} + L_{q,s} \left(r_q \frac{v_q}{v_s} - r_s \right) W_{q,s} N_1 \right].$$

Здесь ρ , p , T — плотность, давление и температура газа; R — универсальная газовая постоянная; K — постоянная Больцмана; u — скорость движения среды; $\mu = \sum_i \mu_i \gamma_i$; μ_i и γ_i — молекулярная масса i -го компонента и его молярная доля в смеси; N — полное число молекул в единице объема; g_i — кратность вырождения i -го колебания; \mathbf{X}_i — нелинейная сила, действующая на i -й компонент в электромагнитном поле; k_v — коэффициент поглощения; I — интенсивность действующего излучения; i — количество колебательных квантов, приобретаемых модой j , при индуцированных переходах; $C_R^i = 1$ для линейных и $C_R^i = 1,5$ для нелинейных молекул; m_i — масса молекулы i -го компонента; λ — коэффициент теплопроводности; λ_i^V — коэффициент колебательной проводимости i -го компонента; D_i^T и D_{ij}^T — коэффициенты термо- и многокомпонентной диффузии для i -го компонента; D_{ij}^V — коэффициент колебательной диффузии между i -м и j -м осцилляторами; D_j^V — коэффициент колебательной термодиффузии для j -й моды; $W_{k,0}$ и $W_{q,k}$ — соответственно константы скорости VT -обмена в k -м осцилляторе и внутримолекулярного VV' -обмена между осцилляторами q и k при столкновении с i -м партнером; $W_{q,s}$ — константа скорости межмолекулярного VV' -обмена при столкновении молекул сорта A (q) и B (s); r_i — количество колебательных квантов, теряемых модой j при VV' -обмене; ξ и η — коэффициенты вязкости; $(u' \sigma')$ — вектор с компонентами $u_j \sigma_{jk}'$; σ_{jk}' — тензор вязких напряжений.

Из линейной зависимости уравнения (3) и двух уравнений вида (4) (ρ , N_1 и N_2 связаны соотношением $\rho = m_1 N_1 + m_2 N_2$) следует, что наряду с обычными соотношениями между коэффициентами многокомпонентной диффузии и термодиффузии $D_{ij} = D_{ji}$ и $D_1^T = -D_2^T$ должно выполняться также равенство

$$(10) \quad \sum_{j=k, q, s} D_j^V \nabla \ln T_j = 0,$$

т. е. коэффициенты колебательной термодиффузии для мод k , q , s не являются независимыми. Будем рассматривать осесимметричные пучки с гауссовым распределением интенсивности по радиусу $I(r, t) = I_0(t) \times \exp(-r^2/R_a^2)$ с $R_a \ll k_v^{-1}$ (R_a — характерный радиус пучка), а $I_0(t) = I_0(0 \leq t \leq \tau_u)$ и $I_0(t) = 0$ ($t > \tau_u$), где τ_u — длительность импульса воздействующего излучения. Вводя безразмерные координаты $r' = r/R_a$ и $t' = t/\tau_u$ и переходя к безразмерным переменным $\tilde{N}_i = N_i/N_{i0}$, $\tilde{u} = u\tau_u/R_a$, $\tilde{\rho} = \rho/\rho_0$, $\tilde{p} = p/(N_0 K T_0)$, $\tilde{T} = T/T_0$, $\tilde{\nabla}_j = \nabla_j \tau_u / R_a$, $\tilde{T}_j = T_j/T_0$, $\tilde{k}_v = k_v/k_v^0$, $\tilde{I} = I/I_0$, систему (3)–(9) с учетом того, что $E_{RT} = E_{RT}/C_{RT}^0 T_0$, можно представить в следующем виде (тильды и штрихи далее опускаем):

$$(11) \quad \partial \rho / \partial t = -\nabla (\rho \mathbf{u});$$

$$(12) \quad \frac{\partial N_i}{\partial t} = -\nabla \left\{ N_i \left[\mathbf{u} - \frac{\tau_u}{\tau_{Ti}} \frac{\nabla \ln T}{N_i} - \frac{\tau_u}{N_i} \left(\delta_{i,1} \sum_{l=k, q} \frac{\nabla \ln T_l}{\tau_{Dl}^V} + \right. \right. \right. \\ \left. \left. \left. + \delta_{i,2} \frac{\nabla \ln T_s}{\tau_{Ds}^V} \right) + \frac{\tau_u}{\tau_D} \sum_{j=1}^2 \mathbf{d}_j \frac{P_m^{2-j} (1 + P_N)^2 N^2}{(P_m + P_N) P_n^{j-1} N_l \rho} \right] \right\};$$

$$(13) \quad \rho \frac{\partial \mathbf{u}}{\partial t} + \rho (\mathbf{u} \nabla) \mathbf{u} = - \left(\frac{\tau_u}{\tau_a} \right)^2 \frac{\nabla \rho}{\kappa} + \left(\frac{\tau_u}{\tau_k} \right) \left[\Delta \mathbf{u} + \right. \\ \left. + \left(\frac{1}{3} + \frac{\xi}{\eta} \right) \nabla (\nabla \mathbf{u}) \right] + \left(\frac{\tau_u}{\tau_F} \right)^2 \sum_{i=1}^2 N_i \mathbf{X}_i \gamma_{i0};$$

$$(14) \quad \rho \frac{\partial E_{RT}}{\partial t} + \rho (\mathbf{u} \nabla) E_{RT} = -p \nabla \mathbf{u} (\kappa - 1) + \kappa (\kappa - 1) \left[\left(\frac{\tau_u}{\tau_F} \right)^2 \sum_{i=1}^2 N_i \mathbf{X}_i \nabla_i \gamma_{i0} + \right. \\ \left. + \frac{\tau_u^2}{\tau_u \tau_k} \nabla (\mathbf{u}' \sigma') \right] + \frac{\xi \tau_u}{\tau_q} \gamma_{10} k_v I + (\kappa - 1) \left[\sum_{l=k, s} \frac{\tau_u}{\tau_{Vl}} \theta_l N_l (\epsilon_l - \epsilon_{l0}) \gamma_{l0} + \right. \\ \left. + \frac{\tau_u}{\tau_{qk}^{VV'}} L_{q,k} (r_q \theta_q - r_k \theta_k) N_1 \gamma_{10} + \frac{\tau_u}{\tau_{qs}^{VV'}} L_{q,s} (r_q \theta_q - r_s \theta_s) N_1 N_2 \right] - \\ - \nabla \left[\frac{\rho T}{C_{RT}^0} \sum_{i=1}^2 C_{RT}^i \mathbf{V}_i - \frac{\tau_u}{\tau_u} \bar{\nabla} T + (\kappa - 1) \frac{T}{N} \sum_{i \neq j} \frac{\tau_D}{\tau_{Ti}} N_j \gamma_{i0} \gamma_{j0} (\mathbf{V}_i - \mathbf{V}_j) \right];$$

$$(15) \quad \rho \frac{\partial e_V^k}{\partial t} + \rho (\mathbf{u} \nabla) e_V^k = \frac{\theta_k}{C_{k0}^V} \left[-l_k k_v I \frac{\tau_u}{\tau_l} - \frac{\tau_u}{\tau_{qk}^{VV'}} N_1 (\epsilon_k - \epsilon_{k0}) + \frac{\tau_u}{\tau_{qk}^{VV'}} N_1 L_{q,k} r_k \right] - \\ - \nabla \left[\rho e_V^k \mathbf{V}_k - \frac{\tau_u}{\tau_k^V} \nabla T_k + \frac{NT}{C_{k0}^V \gamma_{10}} \sum_{j=1}^2 \frac{\tau_u}{\tau_{qj}^V} \mathbf{d}_j \right];$$

$$(16) \quad \rho \frac{\partial e_V^q}{\partial t} + \rho (\mathbf{u} \nabla) e_V^q = \frac{\theta_q}{C_{q0}^V} \left[k_v I \frac{l_q \tau_u}{\tau_q} - \frac{\tau_u}{\tau_{qk}^{VV'}} L_{q,k} r_q N_1 - \frac{\tau_u}{\tau_{qs}^{VV'}} L_{q,s} r_q N_1 N_2 \gamma_{10}^{-1} \right] - \\ - \nabla \left[\rho e_V^q \mathbf{V}_q - \frac{\tau_u}{\tau_q^V} \nabla T_q + \frac{NT}{C_{q0}^V \gamma_{10}} \sum_{j=1}^2 \frac{\tau_u}{\tau_{qj}^V} \mathbf{d}_j \right];$$

$$(17) \quad \rho \frac{\partial e_V^s}{\partial t} + \rho (\mathbf{u} \nabla) e_V^s = \frac{\theta_s}{C_{s0}^V} \left[-\frac{\tau_u}{\tau_s^{VT}} N_2 (\varepsilon_s - \varepsilon_{s0}) + \frac{\tau_u}{\tau_{qs}^{VV'}} L_{q,s} r_s N_1 N_2 \gamma_{20}^{-1} \right] -$$

$$- \nabla \left\{ \rho e_V^s \mathbf{V}_s - \frac{\tau_u}{\tau_s^{V'}} \nabla T_s + \frac{NT}{C_{s0} \gamma_{20}} \sum_{j=1}^2 \frac{\tau_u}{\tau_{sj}^V} \mathbf{d}_j \right\},$$

$$\mathbf{V}_t = -\frac{\tau_u}{\tau_{Ti}} \frac{\nabla \ln T}{N_i} - \frac{\tau_u}{N_t} \left(\delta_{i,1} \sum_{l=k,q} \frac{\nabla \ln T_l}{\tau_{Dl}^V} + \delta_{i,2} \frac{\nabla \ln T_s}{\tau_{Ds}^V} \right) + \frac{\tau_u}{\tau_D} \sum_{j=1}^2 \mathbf{d}_j \frac{N^2}{N_i \rho} \frac{P_m^{2-j} (1 + P_N)^2}{(P_m + P_N) P_N^{i-1}},$$

$$\mathbf{d}_j = \gamma_{j0} \nabla \left(\frac{N_j}{N} \right) + \gamma_{j0} \left(\frac{N_j}{N} - \frac{N_j P_m^{2-j}}{\rho (P_m + P_N) \gamma_{10}} \right) \nabla \ln p +$$

$$+ \frac{\kappa \gamma_{j0} \tau_a^2}{\rho \tau_F^2} \left[\frac{N_j P_m^{2-j} (1 + P_N)}{\rho (P_m + P_N)} \sum_i \frac{P_N^{i-1}}{1 + P_N} N_i \mathbf{X}_i - N_j \mathbf{X}_j \right],$$

$$C_{10}^V = \frac{\theta_i^2 \exp(\theta_i)}{[\exp(\theta_i) - 1]^2}, \quad \theta_i = \frac{h v_i}{K T_0}, \quad \gamma_{10} = \frac{P_N^{i-1}}{1 + P_N},$$

$$\kappa = 1 + \left(\frac{e_{RT}^0 \mu_0}{R} \right)^{-1}, \quad \xi = \frac{E_{j''} - E_{j'}}{K T_0}, \quad C_{RT}^0 = \sum_{i=1}^2 C_{RT}^i \frac{\mu \gamma_{i0} N}{\mu_0 N_i},$$

$$P_N = \gamma_{20}/\gamma_{10}, \quad P_m = m_1/m_2.$$

Здесь $\tau_a = R_a / \sqrt{\frac{\kappa \rho_0}{\rho_0}}$ — время распространения звука поперек пучка; $\tau_D = R_a^2 / D_g$, $\tau_{Ti} = R_a^2 m_i N_{i0} / D_i^T$, $\tau_{Di}^V = R_a^2 m_i N_{i0} / D_i^V$, $\tau_{ij}^V = R_a^2 / D_g^V$ — соответственно времена многокомпонентной диффузии, термодиффузии i -го компонента, диффузии колебательной энергии i -го осциллятора, принадлежащего молекуле i -го сорта и колебательной диффузии между i -м и j -м осцилляторами; $\tau_\lambda = \rho R_a^2 C_{RT}^0 / \lambda$ — время теплопроводности; $\tau_i^V = R_a^2 C_{i0}^V N_{i0} K / \lambda_i^V$ — время колебательной теплопроводности для i -го осциллятора; $\tau_i^{VT} = \left(\sum_{k=1}^2 W_{i0}^k N_{k0} \right)^{-1}$ — время VT -релаксации для i -го осциллятора; $\tau_{q,s}^{VV'} = \{W_{q,s} \gamma_{10} \gamma_{20} N_0\}^{-1}$, $\tau_{ij}^{VV'} = \left\{ \sum_{k=1}^2 W_{i,j}^k N_{k0} \right\}^{-1}$ — времена межмолекулярного и внутримолекулярного VV' -обмена; $\tau_I = N_{10} h v_i / k_v I_0$; $\tau_F = \sqrt{\frac{\rho_0 \rho_a}{X_0 f'_U}}$ — время изменения состояния среды под действием внешних сил \mathbf{X}_0 ($\tau_F = \tau_g$ при $\mathbf{X}_0 = m \mathbf{g}$, \mathbf{g} — ускорение силы тяжести, m — характерная масса молекулы, и $\tau_F = \tau_{NL}$ при $\mathbf{X}_0 = \mathbf{f}_{NL}$, \mathbf{f}_{NL} — сила, действующая на частицу в электромагнитном поле); $\tau_k = R_0^2 \rho_0 / \eta$ — время конвекции вследствие вязкости.

Конкретный анализ проведен на примере резонансного поглощения излучения CO₂-лазера с $v_1 = 944,2 \text{ см}^{-1}$ (линия P20 [00⁰1 → 10⁰0]) в смеси газов CO₂—N₂, когда τ_u , τ_I существенно больше времени VV' -обмена между симметричными v_1 и деформационными v_2 колебаниями CO₂. При этом можно рассматривать совместную релаксацию энергии мод v_1 и v_2 , полагая наличие точного резонанса между состояниями 10⁰0 и 02⁰0 молекулы CO₂ ($h v_1 = 2 h v_2$). В нашем исследовании эта объединенная мода соответствует v_k , асимметричные колебания CO₂ (v_3) — v_q и колебания N₂ (v_4) — v_s . Отметим, что вид правой части уравнения (7) вследствие объединения мод v_1 и v_2 в CO₂ несколько меняется [15]. Необходимые для расчета константы скоростей VT - и VV' -процессов и молекулярные постоянные были взяты такими же, как и в [11, 16]. Коэффициенты D_{12} , D_i^T , λ вычислялись по соотношениям [17] ($D_{12} = 1,4 \cdot 10^{-3} \text{ м}^2/\text{с}$, $\lambda = 1,1 \cdot 10^{-5} \text{ Дж}/(\text{м} \cdot \text{с} \cdot \text{К})$, $D_1^T = 4,8 \cdot 10^{-8} \text{ кг}/(\text{м} \cdot \text{с})$). Значения D_{ij}^V и D_j^V для смеси CO₂—N₂ ни экспериментально, ни теоретически не найдены. Однако

в [18—20] определены связи между коэффициентами самодиффузии колебательно-возбужденных молекул CO_2 и N_2 (D_{ii}^V) и обычной диффузии. Эти связи имеют вид $D_{ii}^V = K_i^V D_{ii}$, где $K_i^V = \text{const}$, а величина K_i^V зависит от типа колебаний. При $T_0 = 300$ К для деформационных и симметричных колебаний $K_1^V = K_2^V = 1$, а для асимметричных $K_3^V = 0,6$, для возбужденного азота $K_4^V = 0,4$.

Полагая, как и в [8], что приведенные соотношения справедливы и для коэффициентов диффузии в бинарном газе, получим

$$D_{14}^V = D_{24}^V = D_{12}, \quad D_{34}^V = 0,6D_{12}, \quad D_1^V = D_2^V = D_1^T, \quad D_3^V = 0,6D_1^T.$$

Величина D_4^V вычислялась в соответствии с (10) в виде

$$(18) \quad D_4^V = -D_2^V \frac{2\nabla \ln T_2 + 0,6\nabla \ln T_3}{\nabla \ln T_4}.$$

Коэффициенты колебательной теплопроводности λ_i^V определялись по соотношению

$$\lambda_i^V = D_{ii}^V C_i^V N_i K, \quad C_i^V = \frac{\theta_{Vi}^2 \exp(\theta_{Vi})}{[\exp(\theta_{Vi}) - 1]^2}, \quad \theta_{Vi} = \frac{hv_i}{KT_i}.$$

Проведем оценку характерных времен для среды $\text{CO}_2 - \text{N}_2 = 0,1 \div 0,9$ при типичных условиях эксперимента: $R_a = 0,1 \div 1$ см, $I_0 = 0,1 \div 10$ кВт/см², $p_0 = 1$ кПа, $T_0 = 300$ К. Иерархия этих времен в значительной мере определяет степень влияния различных процессов переноса на изменение N_i и T_j . При указанных условиях $\tau_a = 2,9 \cdot 10^{-6} \div 2,9 \cdot 10^{-5}$ с, $\tau_D = 7 \cdot 10^{-4} \div 7 \cdot 10^{-2}$ с, $\tau_{T1} = 3,7 \cdot 10^{-2} \div 3,7$ с, $\tau_{D2}^V = 3,7 \cdot 10^{-2} \div 3,7$ с, $\tau_{D3}^V = 6,1 \cdot 10^{-2} \div 6,1$ с, $\tau_{24}^V = \tau_D$, $\tau_{34}^V = 1,7 \tau_D$, $\tau_\lambda = 9,7 \cdot 10^{-4} \div 9,7 \cdot 10^{-2}$ с, $\tau_2^V = 3,5 \cdot 10^{-4} \div 3,5 \cdot 10^{-2}$ с, $\tau_3^V = 1,67 \tau_2^V$, $\tau_4^V = 1,5 \cdot 10^{-4} \div 1,5 \cdot 10^{-2}$ с, $\tau_k = 5 \cdot 10^{-2} \div 5$ с, $\tau_{NL}^{VT} = 3 \div 10$ с, $\tau_g = 0,1 \div 0,3$ с, $\tau_l = 1,3 \cdot 10^{-2} \div 1,3 \cdot 10^{-4}$ с, $\tau_2^{VT} = 1 \cdot 10^{-3}$ с, $\tau_{32}^{VV'} = 1,1 \cdot 10^{-3}$ с, $\tau_{34}^{VV'} = 1,1 \cdot 10^{-4}$ с, $\tau_4^{VT} = 3,9$ с. Таким образом, имеет место следующая иерархия времен: $\tau_a < \tau_{34}^{VV'} < \tau_D = \tau_2^V = \tau_3^V \sim \tau_l \sim \tau_2^{VT} \sim \tau_{32}^{VV'} \sim \tau_{24}^V \sim \tau_{34}^V \sim \tau_\lambda < \tau_k \sim \tau_{D2}^V < \tau_{D3}^V < \tau_g < \tau_{NL}^{VT} \sim \tau_4^{VT}$. Будем рассматривать импульсы с $\tau_u \ll \tau_g, \tau_{NL}^{VT}, \tau_4^{VT}$. Кроме того, при проведении экспериментов в указанных условиях всегда выполняется неравенство $\delta_i \ll 1$,

$$\delta_i = k_i^0 I_0 \tau_u / \rho_0 E_{RT}^0.$$

В этом случае членами, содержащими отношения времен $(\tau_u/\tau_F)^2$, $(\tau_a/\tau_F)^2$ и τ_u/τ_s^{VT} , в (13), (14), (17) можно пренебречь и провести линеаризацию уравнений (11)—(14), представляя ρ, N_i, T, u, V_i, d в виде $z = 1 + \delta_i z'$, где $z = \rho, N_i, T, a$ и $V_i = \delta_i V'_i, d_i = \delta_i d'_i, u = \delta_i u'$.

Система линеаризованных уравнений (11)—(14) и уравнений колебательной кинетики для смеси $\text{CO}_2 - \text{N}_2$ вида (15)—(17) решалась численно по методике, разработанной в [8]. Вычисление нерезонансной части поляризуемости α_{ij}^V для молекулы CO_2 ($i = 1, j = 1 \div 3$) проводилось по формулам [6], а для молекулы N_2 ($i = 2, j = 4$) — по формулам [21].

Рассмотрим сначала, как изменяются концентрации компонентов $N'_1(t)$ и $N'_2(t)$ на оси пучка при наличии процессов диффузии и теплопроводности, связанных с возбуждением молекулярных колебаний (характерные времена $\tau_{D2}^V, \tau_{D3}^V, \tau_{D4}^V, \tau_{24}^V, \tau_{34}^V, \tau_i^V$ ($i = 2 \div 4$) имеют конечные значения), и при их отсутствии (этот времена равны бесконечности).

На рис. 1, а, б показаны зависимости $\delta_i z'(t')$ ($z' = N'_1, N'_2, T'$ (линии 1—3), $t' = t/\tau_D$) и $T_i(t')$ ($i = 2 \div 4$ — линии 2—4) на оси пучка ($r' = 0$), а на рис. 2, а—в — распределения N'_1, N'_2, T' (линии 1—3) по r' при $t' = 1; 8; 30$ ($\delta_i = 0,01$) соответственно, полученные для этих двух случаев (сплошные и штриховые линии) при расчете воздействия излучения с $I_0 = 0,1$ кВт/см² и $v_i = 944,2$ см⁻¹, $R_a = 0,1$ см на смесь газов $\text{CO}_2 - \text{N}_2 = 0,1 : 0,9$ с $T_0 = 300$ К и $p_0 = 1$ кПа. Из представленных распределений видно, что процессы диффузии, связанные с возбуждением колебательных степеней свободы

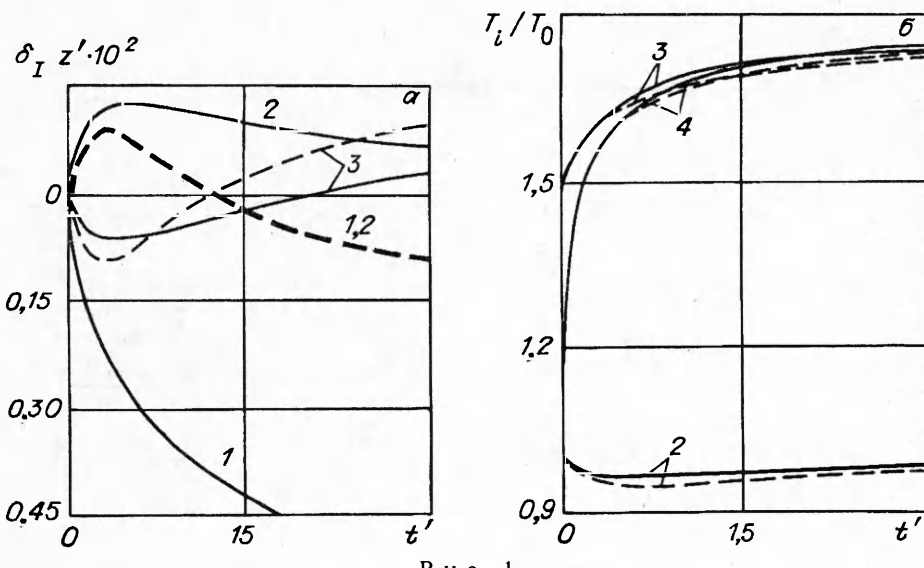


Рис. 1

молекул CO_2 и N_2 (анализ показывает, что доминирующее влияние оказывает колебательная термодиффузия, которая обусловлена значительным градиентом по r колебательных температур T_2 , T_3 и T_4), существенно влияют на изменение N'_i и T' даже при $t \ll \tau_{Di}^V$. Так, если в модели с $\tau_{ij}^V = \tau_{Di}^V = \tau_i^V = \infty$ $N'_1 = N'_2$ при любых t , то, когда эти времена конечны, $N'_1(t') \neq N'_2(t')$. Поскольку $\tau_a \ll \tau_D$, то при $t \sim \tau_D$ в случае $\tau_{ij}^V = \tau_{Di}^V$, $\tau_i^V = \infty$ распределения N'_1 , N'_2 и N' по r в точности повторяют распределение $\rho'(r)$, а $\rho' = -T'$. Когда τ_{Di}^V и τ_i^V конечны, на характер распределений $N'_i(r)$ существенно влияют процессы колебательной термодиффузии. При этом поведение $N'_1(r)$ определяется конкуренцией двух диффузионных потоков, направленных в противоположные стороны. Первый обусловлен градиентом T_2 (при небольших t $\nabla T_2 > 0$) и, поскольку $D_2^V > 0$, направлен от периферии к центру пучка. Второй обусловлен градиентом T_3 ($\nabla T_3 < 0$) и, поскольку $D_3^V > 0$, направлен от центра к периферии. Взаимодействие этих двух потоков приводит к достаточно сложному распределению $N'_1(r)$, которое характеризуется наличием минимума в некотором сечении с $r \neq 0$ (рис. 2, a), которое тем дальше отстоит от центра пучка, чем больше I_0 . С течением времени это сечение сдвигается к оси пучка, что обусловлено уменьшением ∇T_2 . Диффузионный поток для $N'_2(r)$ определяется величиной и знаком D_4^V и зависит от ∇T_2 , ∇T_3 и ∇T_4 . Поэтому, согласно (18), поведение $N'_2(r)$ аналогично поведению $N'_1(r)$ с обратным знаком. Отметим, что диффузионные процессы, обусловленные возбуждением колебательных степеней свободы, приводят к расширению области с $N'_i \neq 0$. Так, если при $\tau_{ij}^V = \tau_{Di}^V = \tau_i^V = \infty$ $N'_i = 0$ уже при $r' \approx 6$, то в случае конечности этих времен $N'_i = 0$ только при $r' \approx 15$.

Поскольку δn в значительной степени определяется изменением концентраций N'_1 и N'_2 , то ясно, что на характер поведения $\delta n(t)$ должны оказывать значительное влияние диффузионные процессы, связанные с возбуждением молекулярных колебаний. Это влияние иллюстрирует рис. 3, на котором

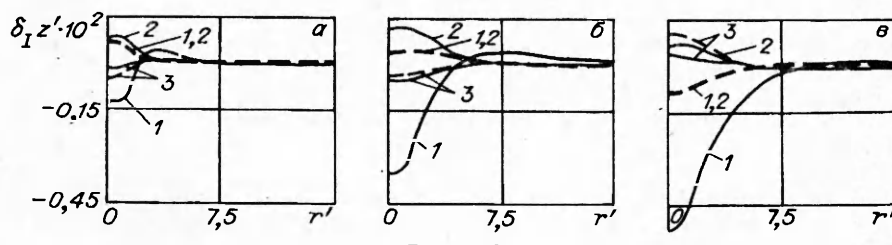


Рис. 2

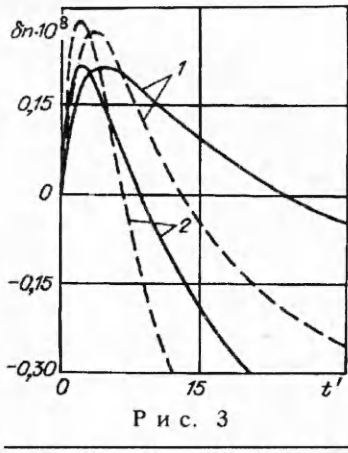
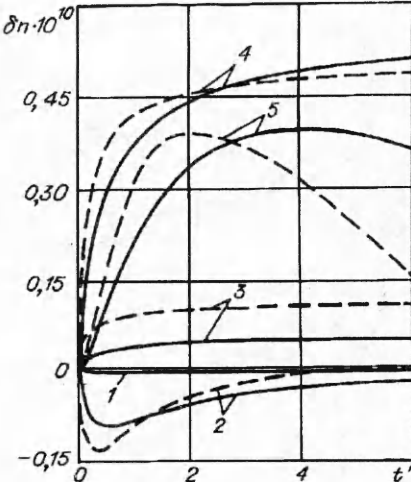


Рис. 4→



показаны зависимости $\delta n(t')$ при $r = 0$ для смеси $\text{CO}_2 - \text{N}_2 = 0,1 : 0,9$ и $0,2 : 0,8$ (линии 1, 2) с $T_0 = 300 \text{ K}$, $p_0 = 1 \text{ кПа}$, $I_0 = 0,1 \text{ кВт/см}^2$ для случая, когда $\tau_{ij}^V = \tau_{Dj}^V = \tau_i^V = \infty$ и когда эти времена конечны (штриховые и сплошные линии соответственно). Видно, что с увеличением концентрации CO_2 влияние колебательной термодиффузии на δn усиливается. Относительную роль концентрационной составляющей δn и вкладов в δn нерезонансных частей поляризуемости, вызванных возбуждением отдельных мод молекул CO_2 и N_2 , иллюстрирует рис. 4. Здесь линии 1—4 относятся к зависимости $\delta n(t)$, обусловленной возбуждением симметричных, деформационных и антисимметричных колебаний CO_2 и колебаний N_2 , а 5 — к зависимости $\delta n(t)$, обусловленной изменением N'_1 и N'_2 (масштаб для концентрационной составляющей δn уменьшен в 50 раз). Штриховые и сплошные линии, как и на рис. 3, относятся к смесям с различным содержанием компонентов. Видно, что определяющее влияние при данных условиях оказывает изменение концентраций CO_2 и N_2 . Лишь при малых t изменение n вследствие изменения поляризуемости может конкурировать с концентрационной частью δn .

Часто по изменению показателя преломления определяют изменение температуры среды (в частности, судят о глубине кинетического охлаждения [13]) при воздействии резонансного излучения. Из представленных результатов следует, что такой метод не применим в большинстве практических интересных случаев. Даже когда изменение нерезонансной части поляризуемости вследствие возбуждения колебаний молекул мало, величина δn не связана простым соотношением с изменением температуры T ($\delta n = -(n_0 - 1) \delta T / T_0$), а зависит от изменения концентрации компонентов смеси, которое существенным образом определяется процессами колебательной термодиффузии.

ЛИТЕРАТУРА

1. Виноградова М. Б., Руденко О. В., Сухоруков А. П. Теория волн.— М.: Наука, 1979.
2. Wallace J., Camac M. Effects of absorption at $10,6 \mu\text{m}$ on laser-beam transmission // J. Opt. Soc. Amer.— 1970.— V. 60, N 11.— P. 1587—1594.
3. Wood A. D., Camac M., Gerry F. T. Effects of $10,6 \mu\text{m}$ laser induced air chemistry on the atmospheric refractive index // Appl. Optics.— 1971.— V. 10, N 8.— P. 1877—1882.
4. Осипов А. И., Панченко В. Я., Филиппов А. А. О показателе преломления колебательно-возбужденных газов // Квант. электроника.— 1984.— Т. 11, № 9.— С. 1874—1876.
5. Басов И. Г., Данилычев В. А., Рудой И. Г., Сорока А. М. Кинетическая самофокусировка излучения CO_2 -лазера в воздухе // ДАН СССР.— 1985.— Т. 284, № 6.— С. 1346—1349.

6. Буланин М. О., Бурцев А. П., Коротков С. А. Влияние колебательного и вращательного возбуждения на поляризумость и рефракцию молекулярных газов // Хим. физика.— 1988.— Т. 7, № 13.— С. 1615—1619.
7. Журавлев В. В., Сорокин А. А., Стариц А. М. О механизмах самофокусировки при взаимодействии лазерного излучения с газовой средой // Квант. электроника.— 1990.— Т. 16, № 4.— С. 501—506.
8. Грабовский В. И., Стариц А. М. Влияние процессов макропереноса на изменение газодинамических параметров при воздействии импульса резонансного излучения // Докл. РАН.— 1992.— Т. 322, № 4.— С. 674—680.
9. Выслоух В. А., Огнев Л. И. Резонансная самофокусировка в смеси CO₂ и N₂ // ПМТФ.— 1980.— № 4.— С. 50—57.
10. Егоров К. Д., Кандидов В. П., Огнев А. И. Самовоздействие светового пучка в условиях кинетического охлаждения // Квант. электроника.— 1981.— Т. 8, № 5.— С. 1012—1017.
11. Левин В. А., Нетесов В. В., Стариц А. М. Численное исследование распространения импульса излучения с $\lambda = 10,6$ мкм через поглощающие среды // ПМТФ.— 1984.— № 3.— С. 14—19.
12. Gebhardt F. C., Smith D. C. Kinetic cooling of a gas by absorption of CO₂ laser radiation // Appl. Phys. Lett.— 1972.— V. 20, N 3.— P. 129—132.
13. Гордиенко В. М., Горшков В. А., Панченко В. Я., Сухоруков А. П. Кинетическое охлаждение смеси газов CO₂—N₂ излучением CO₂-лазера // ЖЭТФ.— 1977.— Т. 73, № 3.— С. 1396—1399.
14. Смит К., Томсон Р. Численное моделирование газовых лазеров.— М.: Мир, 1981.
15. Бирюков А. С. Кинетика физических процессов в газодинамических лазерах // Тр. ФИАН.— 1975.— Т. 83.— С. 13—99.
16. Гордиец Б. Ф., Осипов А. И., Шелепин Л. А. Кинетические процессы в газах и молекулярные лазеры.— М.: Наука, 1980.
17. Гиршфельдер Дж., Кертис Ч., Берд Р. Молекулярная теория газов и жидкостей.— М.: ИЛ, 1961.
18. Ритынь Е. Н., Рубиков Ю. А., Слободская П. В., Соснов Е. Н. Коэффициенты диффузии колебательно-возбужденных молекул // Хим. физика.— 1988.— Т. 7, № 5.— С. 703—710.
19. Гордеев Е. П., Уманский С. Я. Диффузия колебательно-возбужденных молекул // Хим. физика.— 1991.— Т. 10, № 10.— С. 1435—1437.
20. Ahtye W. F. Thermal conductivity in vibrationally excited gases // J. Chem. Phys.— 1972.— V. 57, N 12 (II).— P. 5542—5555.
21. Булдаков М. А., Королев В. В., Матросов И. И., Павлова Т. Н. Поляризумость молекул N₂ и O₂ // Оптика и спектроскопия.— 1987.— Т. 62, № 3.— С. 519—523.

г. Москва

Поступила 3/XI 1992 г.,
в окончательном варианте — 2/III 1993 г.

УДК 532.59

Н. В. Гаврилов

НЕПОДВИЖНЫЕ В ЛАБОРАТОРНОЙ СИСТЕМЕ КООРДИНАТ · ВНУТРЕННИЕ УЕДИНЕННЫЕ ВОЛНЫ И ПЛАВНЫЕ БОРЫ

Уединенные волны и плавные боры являются объектом интенсивных теоретических и экспериментальных исследований в современной гидродинамике [1—8]. В результате лабораторного моделирования [5—8] достигнута определенная ясность относительно достоинств и недостатков теоретических подходов к описанию этих волн. Однако некоторые вопросы остались открытыми. В частности, в опытах [5—8] волны перемещались относительно наблюдателя с медленно меняющейся скоростью, т. е. были нестационарными. Эта нестационарность могла быть обусловлена двумя причинами: тем, что в пределах экспериментальной установки еще продолжалось формирование стационарной волны из начального возмущения, или тем, что происходила диссиляция энергии из-за вязкости. Какая из